

EasyPACK™ モジュール TRENCHSTOP™5 とエミッターコントロール3ダイオード内蔵と PressFIT / NTC サーミスタ

特徴

- 電気的特性
 - $V_{CES} = 650 \text{ V}$
 - $I_{Cnom} = 200 \text{ A} / I_{CRM} = 400 \text{ A}$
 - 低スイッチング損失
- 機械的特性
 - 低熱インピーダンスの Al_2O_3 DCB
 - コンパクトデザイン
 - PressFIT 接合 技術
 - 内蔵された NTC サーミスタ
 - 高いパワー密度



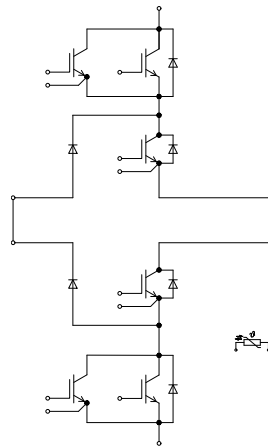
可能性のある用途

- ソーラーアプリケーション
- 3レベル アプリケーション

製品検証

- IEC 60747、60749、および 60068 の関連試験に準拠して産業用アプリケーションに適合

詳細



目次

	詳細	1
	特徴	1
	可能性のある用途	1
	製品検証	1
	目次	2
1	ハウジング	3
2	IGBT, T1.1 / T1.2 / T4.1 / T4.2	3
3	IGBT, T2 / T3	5
4	ダイオード, D1 / D4	6
5	ダイオード, D2 / D3	7
6	ダイオード, D5 / D6	8
7	NTC-サーミスタ	9
8	特性図	10
9	回路図	19
10	パッケージ外形図	20
11	モジュールラベルコード	20
	改訂履歴	21
	Disclaimer	22

1 ハウジング

1 ハウジング

表 1 絶縁協調

項目	記号	条件及び注記	定格値	単位
絶縁耐圧	V_{ISOL}	RMS, $f = 50 \text{ Hz}$, $t = 1 \text{ min}$	3.2	kV
内部絶縁		基礎絶縁 (クラス 1, IEC 61140)	Al_2O_3	
沿面距離	d_{Creep}	連絡方法 - ヒートシンク	11.2	mm
沿面距離	d_{Creep}	連絡方法 - 連絡方法	6.8	mm
空間距離	d_{Clear}	連絡方法 - ヒートシンク	9.4	mm
空間距離	d_{Clear}	連絡方法 - 連絡方法	5.5	mm
相対トラッキング指数	CTI		> 400	
相対温度指数 (電気)	RTI	住宅	140	°C

表 2 電気的特性

項目	記号	条件及び注記	規格値			単位
			最小	標準	最大	
内部インダクタンス	L_{sCE}			12		nH
保存温度	T_{stg}		-40		125	°C
取り付けネジ締め付けトルク	M	適切なアプリケーション ノートによるマウンティング	M5, 取り付けネジ	1.3	1.5	Nm
質量	G			78		g

注: The current under continuous operation is limited to 25A rms per connector pin.

2 IGBT, T1.1 / T1.2 / T4.1 / T4.2

表 3 最大定格

項目	記号	条件及び注記		定格値	単位
コレクタ・エミッタ間電圧	V_{CES}		$T_{vj} = 25 \text{ °C}$	650	V
コレクタ電流	I_{CN}			200	A
連続 DC コレクタ電流	I_{CDC}	$T_{vj \text{ max}} = 175 \text{ °C}$	$T_H = 65 \text{ °C}$	130	A
繰り返しピークコレクタ電流	I_{CRM}	$t_p = 1 \text{ ms}$		400	A
ゲート・エミッタ間ピーク電圧	V_{GES}			±20	V

表 4 電気的特性

項目	記号	条件及び注記	規格値			単位	
			最小	標準	最大		
コレクタ・エミッタ間飽和電圧	$V_{CE\ sat}$	$I_C = 100\text{ A}, V_{GE} = 15\text{ V}$	$T_{vj} = 25\text{ °C}$	1.17	1.50	V	
			$T_{vj} = 125\text{ °C}$	1.20			
			$T_{vj} = 150\text{ °C}$	1.21			
ゲート・エミッタ間しきい値電圧	V_{GEth}	$I_C = 2\text{ mA}, V_{CE} = V_{GE}, T_{vj} = 25\text{ °C}$	3.25	4	4.75	V	
ゲート電荷量	Q_G	$V_{GE} = \pm 15\text{ V}, V_{CE} = 400\text{ V}$		0.84		μC	
内蔵ゲート抵抗	R_{Gint}	$T_{vj} = 25\text{ °C}$		0		Ω	
入力容量	C_{ies}	$f = 100\text{ kHz}, T_{vj} = 25\text{ °C}, V_{CE} = 25\text{ V}, V_{GE} = 0\text{ V}$		14.3		nF	
帰還容量	C_{res}	$f = 100\text{ kHz}, T_{vj} = 25\text{ °C}, V_{CE} = 25\text{ V}, V_{GE} = 0\text{ V}$		0.05		nF	
コレクタ・エミッタ間遮断電流	I_{CES}	$V_{CE} = 650\text{ V}, V_{GE} = 0\text{ V}$	$T_{vj} = 25\text{ °C}$		0.019	mA	
ゲート・エミッタ間漏れ電流	I_{GES}	$V_{CE} = 0\text{ V}, V_{GE} = 20\text{ V}, T_{vj} = 25\text{ °C}$			100	nA	
ターンオン遅延時間(誘導負荷)	t_{don}	$I_C = 100\text{ A}, V_{CE} = 300\text{ V}, V_{GE} = \pm 15\text{ V}, R_{Gon} = 4.7\text{ }\Omega$	$T_{vj} = 25\text{ °C}$	0.022		μs	
			$T_{vj} = 125\text{ °C}$	0.021			
			$T_{vj} = 150\text{ °C}$	0.021			
ターンオン上昇時間(誘導負荷)	t_r	$I_C = 100\text{ A}, V_{CE} = 300\text{ V}, V_{GE} = \pm 15\text{ V}, R_{Gon} = 4.7\text{ }\Omega$	$T_{vj} = 25\text{ °C}$	0.013		μs	
			$T_{vj} = 125\text{ °C}$	0.015			
			$T_{vj} = 150\text{ °C}$	0.015			
ターンオフ遅延時間(誘導負荷)	t_{doff}	$I_C = 100\text{ A}, V_{CE} = 300\text{ V}, V_{GE} = \pm 15\text{ V}, R_{Goff} = 4.7\text{ }\Omega$	$T_{vj} = 25\text{ °C}$	0.117		μs	
			$T_{vj} = 125\text{ °C}$	0.145			
			$T_{vj} = 150\text{ °C}$	0.158			
ターンオフ下降時間(誘導負荷)	t_f	$I_C = 100\text{ A}, V_{CE} = 300\text{ V}, V_{GE} = \pm 15\text{ V}, R_{Goff} = 4.7\text{ }\Omega$	$T_{vj} = 25\text{ °C}$	0.044		μs	
			$T_{vj} = 125\text{ °C}$	0.046			
			$T_{vj} = 150\text{ °C}$	0.047			
ターンオンスイッチング損失	E_{on}	$I_C = 100\text{ A}, V_{CE} = 300\text{ V}, L_\sigma = 35\text{ nH}, V_{GE} = \pm 15\text{ V}, R_{Gon} = 4.7\text{ }\Omega, di/dt = 12.5\text{ kA}/\mu\text{s} (T_{vj} = 150\text{ °C})$	$T_{vj} = 25\text{ °C}$	1		mJ	
			$T_{vj} = 125\text{ °C}$	1.4			
			$T_{vj} = 150\text{ °C}$	1.49			
ターンオフスイッチング損失	E_{off}	$I_C = 100\text{ A}, V_{CE} = 300\text{ V}, L_\sigma = 35\text{ nH}, V_{GE} = \pm 15\text{ V}, R_{Goff} = 4.7\text{ }\Omega, dv/dt = 4400\text{ V}/\mu\text{s} (T_{vj} = 150\text{ °C})$	$T_{vj} = 25\text{ °C}$	0.78		mJ	
			$T_{vj} = 125\text{ °C}$	1.28			
			$T_{vj} = 150\text{ °C}$	1.4			
ジャンクション・ヒートシンク間熱抵抗	R_{thJH}	IGBT 部(1素子当り), $\lambda_{grease} = 3.3\text{ W}/(\text{m}^2\text{K})$			0.478		K/W
動作温度	$T_{vj\ op}$				-40	150	$^{\circ}\text{C}$

3 IGBT, T2 / T3

表 5 最大定格

項目	記号	条件及び注記		定格値	単位
コレクタ・エミッタ間電圧	V_{CES}		$T_{vj} = 25\text{ °C}$	650	V
コレクタ電流	I_{CN}			300	A
連続 DC コレクタ電流	I_{CDC}	$T_{vj\ max} = 175\text{ °C}$	$T_H = 65\text{ °C}$	255	A
繰り返しピークコレクタ電流	I_{CRM}	$t_p = 1\text{ ms}$		600	A
ゲート・エミッタ間ピーク電圧	V_{GES}			±20	V

表 6 電気的特性

項目	記号	条件及び注記	規格値			単位
			最小	標準	最大	
コレクタ・エミッタ間飽和電圧	$V_{CE\ sat}$	$I_C = 100\text{ A}, V_{GE} = 15\text{ V}$	$T_{vj} = 25\text{ °C}$	0.88	1.13	V
			$T_{vj} = 125\text{ °C}$	0.80		
			$T_{vj} = 150\text{ °C}$	0.77		
ゲート・エミッタ間しきい値電圧	V_{GEth}	$I_C = 4\text{ mA}, V_{CE} = 20\text{ V}, T_{vj} = 25\text{ °C}$	4.25	5	5.75	V
ゲート電荷量	Q_G	$V_{GE} = \pm 15\text{ V}, V_{CE} = 400\text{ V}$		3.7		μC
内蔵ゲート抵抗	R_{Gint}	$T_{vj} = 25\text{ °C}$		0		Ω
入力容量	C_{ies}	$f = 100\text{ kHz}, T_{vj} = 25\text{ °C}, V_{CE} = 25\text{ V}, V_{GE} = 0\text{ V}$		47.1		nF
帰還容量	C_{res}	$f = 100\text{ kHz}, T_{vj} = 25\text{ °C}, V_{CE} = 25\text{ V}, V_{GE} = 0\text{ V}$		0.168		nF
コレクタ・エミッタ間遮断電流	I_{CES}	$V_{CE} = 650\text{ V}, V_{GE} = 0\text{ V}$	$T_{vj} = 25\text{ °C}$		0.019	mA
ゲート・エミッタ間漏れ電流	I_{GES}	$V_{CE} = 0\text{ V}, V_{GE} = 20\text{ V}, T_{vj} = 25\text{ °C}$			100	nA
ターンオン遅延時間(誘導負荷)	t_{don}	$I_C = 100\text{ A}, V_{CE} = 300\text{ V}, V_{GE} = \pm 15\text{ V}, R_{Gon} = 6.8\text{ } \Omega$	$T_{vj} = 25\text{ °C}$	0.128		μs
			$T_{vj} = 125\text{ °C}$	0.108		
			$T_{vj} = 150\text{ °C}$	0.103		
ターンオン上昇時間(誘導負荷)	t_r	$I_C = 100\text{ A}, V_{CE} = 300\text{ V}, V_{GE} = \pm 15\text{ V}, R_{Gon} = 6.8\text{ } \Omega$	$T_{vj} = 25\text{ °C}$	0.025		μs
			$T_{vj} = 125\text{ °C}$	0.030		
			$T_{vj} = 150\text{ °C}$	0.031		
ターンオフ遅延時間(誘導負荷)	t_{doff}	$I_C = 100\text{ A}, V_{CE} = 300\text{ V}, V_{GE} = \pm 15\text{ V}, R_{Goff} = 6.8\text{ } \Omega$	$T_{vj} = 25\text{ °C}$	0.693		μs
			$T_{vj} = 125\text{ °C}$	0.821		
			$T_{vj} = 150\text{ °C}$	0.853		
ターンオフ下降時間(誘導負荷)	t_f	$I_C = 100\text{ A}, V_{CE} = 300\text{ V}, V_{GE} = \pm 15\text{ V}, R_{Goff} = 6.8\text{ } \Omega$	$T_{vj} = 25\text{ °C}$	0.129		μs
			$T_{vj} = 125\text{ °C}$	0.213		
			$T_{vj} = 150\text{ °C}$	0.234		

表 6 電気的特性 (continued)

項目	記号	条件及び注記	規格値			単位
			最小	標準	最大	
ターンオンスイッチング損失	E_{on}	$I_C = 100\text{ A}, V_{CE} = 300\text{ V},$ $L_\sigma = 35\text{ nH}, V_{GE} = \pm 15\text{ V},$ $R_{Gon} = 6.8\ \Omega, di/dt =$ $2700\text{ A}/\mu\text{s} (T_{vj} = 150\text{ }^\circ\text{C})$	$T_{vj} = 25\text{ }^\circ\text{C}$	1.06		mJ
			$T_{vj} = 125\text{ }^\circ\text{C}$	1.44		
			$T_{vj} = 150\text{ }^\circ\text{C}$	1.54		
ターンオフスイッチング損失	E_{off}	$I_C = 100\text{ A}, V_{CE} = 300\text{ V},$ $L_\sigma = 35\text{ nH}, V_{GE} = \pm 15\text{ V},$ $R_{Goff} = 6.8\ \Omega, dv/dt = 760$ $\text{V}/\mu\text{s} (T_{vj} = 150\text{ }^\circ\text{C})$	$T_{vj} = 25\text{ }^\circ\text{C}$	5.24		mJ
			$T_{vj} = 125\text{ }^\circ\text{C}$	8.18		
			$T_{vj} = 150\text{ }^\circ\text{C}$	8.84		
ジャンクション・ヒートシンク 間熱抵抗	R_{thJH}	IGBT 部 (1 素子当り), $\lambda_{grease} = 3.3\text{ W}/(\text{m}^2\text{K})$		0.300		K/W
動作温度	$T_{vj\text{ op}}$		-40		150	$^\circ\text{C}$

4 ダイオード, D1 / D4

表 7 最大定格

項目	記号	条件及び注記	定格値	単位	
ピーク繰返し逆電圧	V_{RRM}	$T_{vj} = 25\text{ }^\circ\text{C}$	650	V	
順電流	I_{FN}		225	A	
連続 DC 電流	I_F		100	A	
ピーク繰返し順電流	I_{FRM}	$t_P = 1\text{ ms}$	450	A	
電流二乗時間積	I^2t	$V_R = 0\text{ V}, t_P = 10\text{ ms}$	$T_{vj} = 125\text{ }^\circ\text{C}$	3030	A^2s
			$T_{vj} = 150\text{ }^\circ\text{C}$	2760	

表 8 電気的特性

項目	記号	条件及び注記	規格値			単位
			最小	標準	最大	
順電圧	V_F	$I_F = 100\text{ A}, V_{GE} = 0\text{ V}$	$T_{vj} = 25\text{ }^\circ\text{C}$	1.26	1.55	V
			$T_{vj} = 125\text{ }^\circ\text{C}$	1.16		
			$T_{vj} = 150\text{ }^\circ\text{C}$	1.11		
ピーク逆回復電流	I_{RM}	$I_F = 100\text{ A}, V_R = 300\text{ V},$ $V_{GE} = -15\text{ V}, -di_F/dt =$ $2700\text{ A}/\mu\text{s} (T_{vj} = 150\text{ }^\circ\text{C})$	$T_{vj} = 25\text{ }^\circ\text{C}$	105		A
			$T_{vj} = 125\text{ }^\circ\text{C}$	141		
			$T_{vj} = 150\text{ }^\circ\text{C}$	151		
逆回復電荷量	Q_r	$I_F = 100\text{ A}, V_R = 300\text{ V},$ $V_{GE} = -15\text{ V}, -di_F/dt =$ $2700\text{ A}/\mu\text{s} (T_{vj} = 150\text{ }^\circ\text{C})$	$T_{vj} = 25\text{ }^\circ\text{C}$	5.94		μC
			$T_{vj} = 125\text{ }^\circ\text{C}$	11.6		
			$T_{vj} = 150\text{ }^\circ\text{C}$	13.5		

表 8 電気的特性 (continued)

項目	記号	条件及び注記	規格値			単位
			最小	標準	最大	
逆回復損失	E_{rec}	$I_F = 100\text{ A}, V_R = 300\text{ V}, V_{GE} = -15\text{ V}, -di_F/dt = 2700\text{ A}/\mu\text{s} (T_{vj} = 150\text{ }^\circ\text{C})$	$T_{vj} = 25\text{ }^\circ\text{C}$	1.3		mJ
			$T_{vj} = 125\text{ }^\circ\text{C}$	2.58		
			$T_{vj} = 150\text{ }^\circ\text{C}$	3.01		
ジャンクション・ヒートシンク間熱抵抗	R_{thJH}	/Diode (1 素子当り), $\lambda_{grease} = 3.3\text{ W}/(\text{m}^2\text{K})$		0.431		K/W
動作温度	$T_{vj\text{ op}}$		-40		150	$^\circ\text{C}$

5 ダイオード, D2 / D3

表 9 最大定格

項目	記号	条件及び注記	定格値	単位	
ピーク繰返し逆電圧	V_{RRM}	$T_{vj} = 25\text{ }^\circ\text{C}$	650	V	
順電流	I_{FN}		225	A	
連続 DC 電流	I_F		100	A	
ピーク繰返し順電流	I_{FRM}	$t_p = 1\text{ ms}$	450	A	
電流二乗時間積	I^2t	$V_R = 0\text{ V}, t_p = 10\text{ ms}$	$T_{vj} = 125\text{ }^\circ\text{C}$	3030	A^2s
			$T_{vj} = 150\text{ }^\circ\text{C}$	2760	

表 10 電気的特性

項目	記号	条件及び注記	規格値			単位
			最小	標準	最大	
順電圧	V_F	$I_F = 100\text{ A}, V_{GE} = 0\text{ V}$	$T_{vj} = 25\text{ }^\circ\text{C}$	1.26	1.55	V
			$T_{vj} = 125\text{ }^\circ\text{C}$	1.16		
			$T_{vj} = 150\text{ }^\circ\text{C}$	1.11		
ピーク逆回復電流	I_{RM}	$I_F = 100\text{ A}, V_R = 300\text{ V}, V_{GE} = -15\text{ V}, -di_F/dt = 2700\text{ A}/\mu\text{s} (T_{vj} = 150\text{ }^\circ\text{C})$	$T_{vj} = 25\text{ }^\circ\text{C}$	105		A
			$T_{vj} = 125\text{ }^\circ\text{C}$	141		
			$T_{vj} = 150\text{ }^\circ\text{C}$	151		
逆回復電荷量	Q_r	$I_F = 100\text{ A}, V_R = 300\text{ V}, V_{GE} = -15\text{ V}, -di_F/dt = 2700\text{ A}/\mu\text{s} (T_{vj} = 150\text{ }^\circ\text{C})$	$T_{vj} = 25\text{ }^\circ\text{C}$	5.94		μC
			$T_{vj} = 125\text{ }^\circ\text{C}$	11.6		
			$T_{vj} = 150\text{ }^\circ\text{C}$	13.5		
逆回復損失	E_{rec}	$I_F = 100\text{ A}, V_R = 300\text{ V}, V_{GE} = -15\text{ V}, -di_F/dt = 2700\text{ A}/\mu\text{s} (T_{vj} = 150\text{ }^\circ\text{C})$	$T_{vj} = 25\text{ }^\circ\text{C}$	1.3		mJ
			$T_{vj} = 125\text{ }^\circ\text{C}$	2.58		
			$T_{vj} = 150\text{ }^\circ\text{C}$	3.01		

表 10 電気的特性 (continued)

項目	記号	条件及び注記	規格値			単位
			最小	標準	最大	
ジャンクション・ヒートシンク間熱抵抗	R_{thJH}	/Diode (1 素子当り), $\lambda_{grease} = 3.3 \text{ W}/(\text{m}^2\text{K})$		0.390		K/W
動作温度	$T_{vj\text{op}}$		-40		150	°C

6 ダイオード、D5 / D6

表 11 最大定格

項目	記号	条件及び注記	定格値	単位	
ピーク繰返し逆電圧	V_{RRM}	$T_{vj} = 25 \text{ °C}$	650	V	
順電流	I_{FN}		300	A	
連続 DC 電流	I_F		100	A	
ピーク繰返し順電流	I_{FRM}	$t_p = 1 \text{ ms}$	600	A	
電流二乗時間積	I^2t	$V_R = 0 \text{ V}, t_p = 10 \text{ ms}$	$T_{vj} = 125 \text{ °C}$	6610	A^2s
			$T_{vj} = 150 \text{ °C}$	6050	

表 12 電気的特性

項目	記号	条件及び注記	規格値			単位	
			最小	標準	最大		
順電圧	V_F	$I_F = 100 \text{ A}, V_{GE} = 0 \text{ V}$	$T_{vj} = 25 \text{ °C}$		1.19	1.47	V
			$T_{vj} = 125 \text{ °C}$		1.07		
			$T_{vj} = 150 \text{ °C}$		1.02		
ピーク逆回復電流	I_{RM}	$I_F = 100 \text{ A}, V_R = 300 \text{ V}, V_{GE} = -15 \text{ V}, -di_F/dt = 12.5 \text{ kA}/\mu\text{s} (T_{vj} = 150 \text{ °C})$	$T_{vj} = 25 \text{ °C}$		135		A
			$T_{vj} = 125 \text{ °C}$		186		
			$T_{vj} = 150 \text{ °C}$		199		
逆回復電荷量	Q_r	$I_F = 100 \text{ A}, V_R = 300 \text{ V}, V_{GE} = -15 \text{ V}, -di_F/dt = 12.5 \text{ kA}/\mu\text{s} (T_{vj} = 150 \text{ °C})$	$T_{vj} = 25 \text{ °C}$		5.05		μC
			$T_{vj} = 125 \text{ °C}$		12		
			$T_{vj} = 150 \text{ °C}$		14.4		
逆回復損失	E_{rec}	$I_F = 100 \text{ A}, V_R = 300 \text{ V}, V_{GE} = -15 \text{ V}, -di_F/dt = 12.5 \text{ kA}/\mu\text{s} (T_{vj} = 150 \text{ °C})$	$T_{vj} = 25 \text{ °C}$		0.931		mJ
			$T_{vj} = 125 \text{ °C}$		2.64		
			$T_{vj} = 150 \text{ °C}$		3.26		
ジャンクション・ヒートシンク間熱抵抗	R_{thJH}	/Diode (1 素子当り), $\lambda_{grease} = 3.3 \text{ W}/(\text{m}^2\text{K})$		0.479		K/W	
動作温度	$T_{vj\text{op}}$		-40		150	°C	

7 NTC-サーミスタ

表 13 電気的特性

項目	記号	条件及び注記	規格値			単位
			最小	標準	最大	
定格抵抗値	R_{25}	$T_{NTC} = 25\text{ °C}$		5		kΩ
R_{100} の偏差	$\Delta R/R$	$T_{NTC} = 100\text{ °C}, R_{100} = 493\text{ Ω}$	-5		5	%
損失	P_{25}	$T_{NTC} = 25\text{ °C}$			20	mW
B-定数	$B_{25/50}$	$R_2 = R_{25} \exp[B_{25/50}(1/T_2 - 1/(298,15\text{ K}))]$		3375		K
B-定数	$B_{25/80}$	$R_2 = R_{25} \exp[B_{25/80}(1/T_2 - 1/(298,15\text{ K}))]$		3411		K
B-定数	$B_{25/100}$	$R_2 = R_{25} \exp[B_{25/100}(1/T_2 - 1/(298,15\text{ K}))]$		3433		K

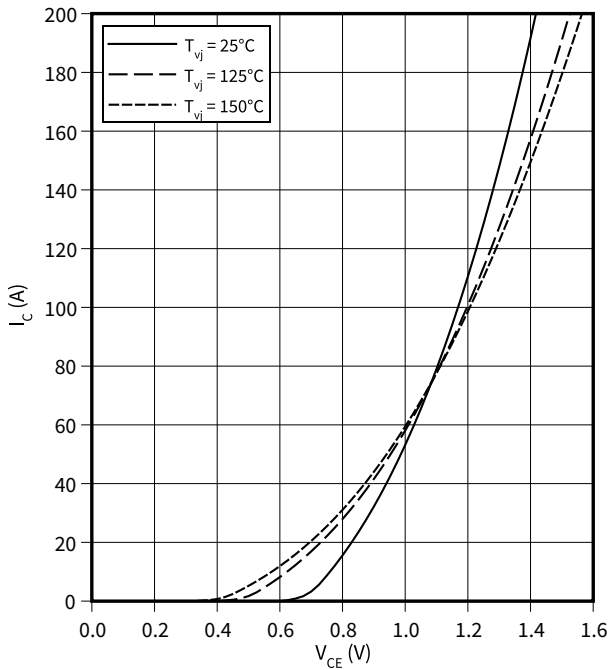
注: 適切なアプリケーションノートによる仕様

8 特性図

出力特性 (Typical), IGBT, T1.1 / T1.2 / T4.1 / T4.2

$I_C = f(V_{CE})$

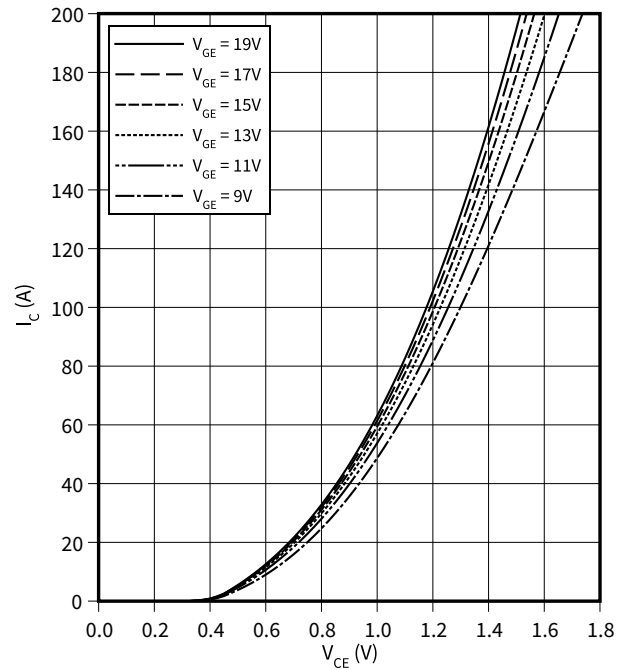
$V_{GE} = 15\text{ V}$



出力特性 (Typical), IGBT, T1.1 / T1.2 / T4.1 / T4.2

$I_C = f(V_{CE})$

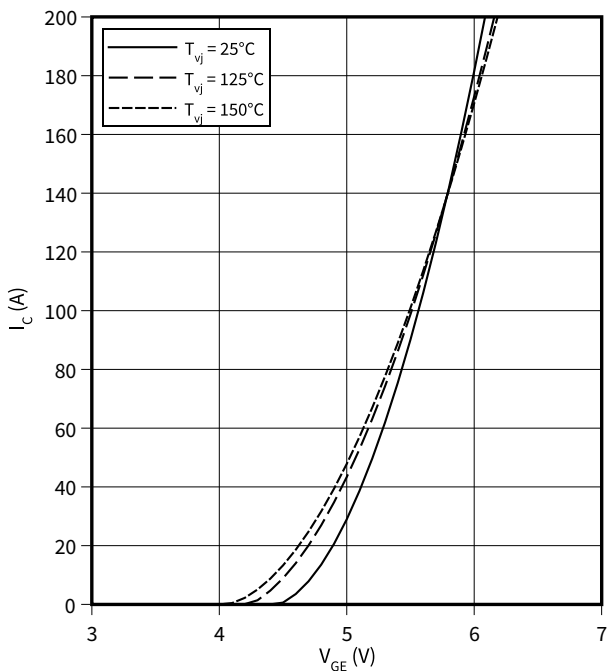
$T_{vj} = 150\text{ °C}$



伝達特性 (Typical), IGBT, T1.1 / T1.2 / T4.1 / T4.2

$I_C = f(V_{GE})$

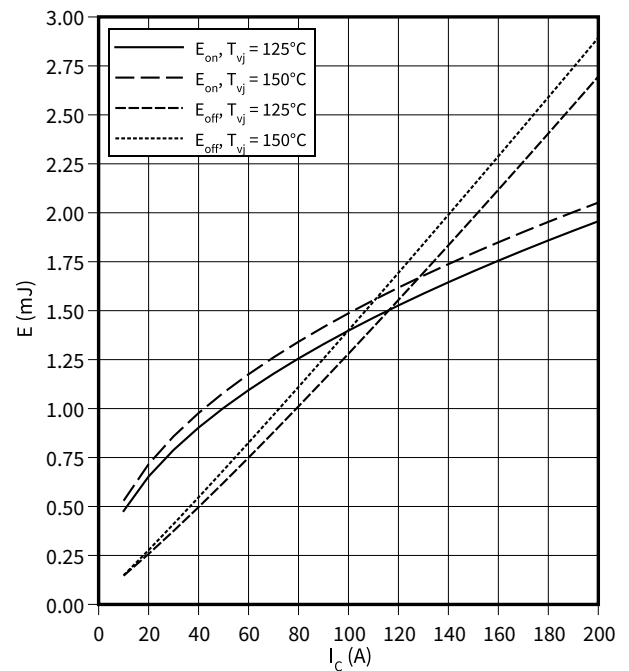
$V_{CE} = 20\text{ V}$



スイッチング損失 (Typical), IGBT, T1.1 / T1.2 / T4.1 / T4.2

$E = f(I_C)$

$R_{Goff} = 4.7\ \Omega, R_{Gon} = 4.7\ \Omega, V_{CE} = 300\text{ V}, V_{GE} = \pm 15\text{ V}$

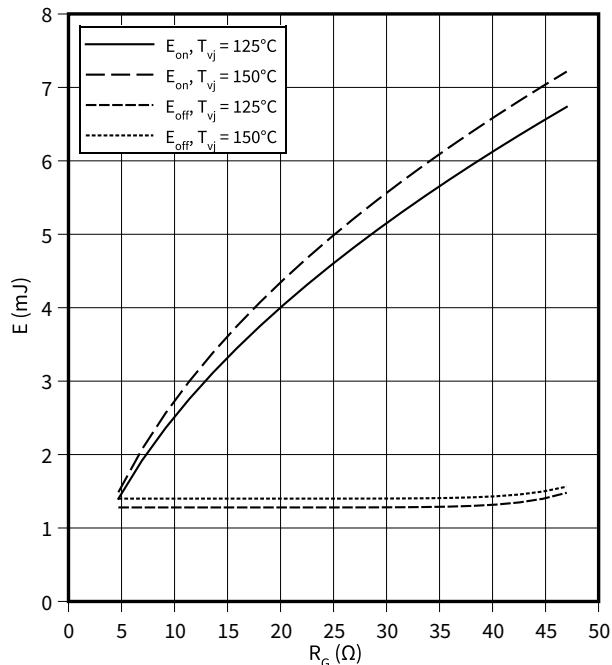


8 特性図

スイッチング損失 (Typical), IGBT, T1.1 / T1.2 / T4.1 / T4.2

$E = f(R_G)$

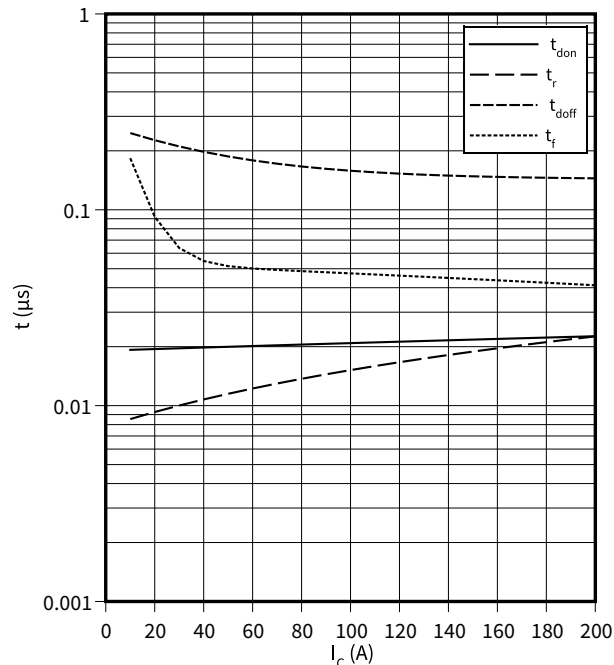
$I_C = 100 \text{ A}, V_{CE} = 300 \text{ V}, V_{GE} = \pm 15 \text{ V}$



??? (Typical), IGBT, T1.1 / T1.2 / T4.1 / T4.2

$t = f(I_C)$

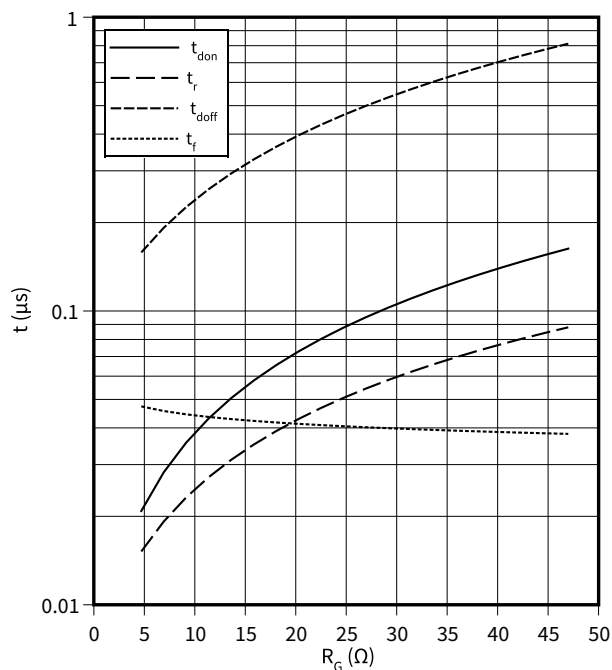
$R_{Goff} = 4.7 \text{ } \Omega, R_{Gon} = 4.7 \text{ } \Omega, V_{CE} = 300 \text{ V}, V_{GE} = \pm 15 \text{ V}, T_{vj} = 150 \text{ } ^\circ\text{C}$



??? (Typical), IGBT, T1.1 / T1.2 / T4.1 / T4.2

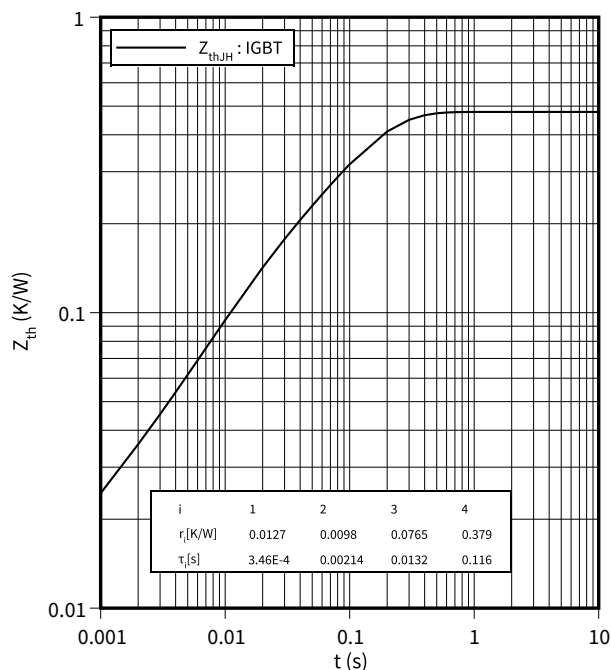
$t = f(R_G)$

$I_C = 100 \text{ A}, V_{CE} = 300 \text{ V}, V_{GE} = \pm 15 \text{ V}, T_{vj} = 150 \text{ } ^\circ\text{C}$



過渡熱インピーダンス, IGBT, T1.1 / T1.2 / T4.1 / T4.2

$Z_{th} = f(t)$

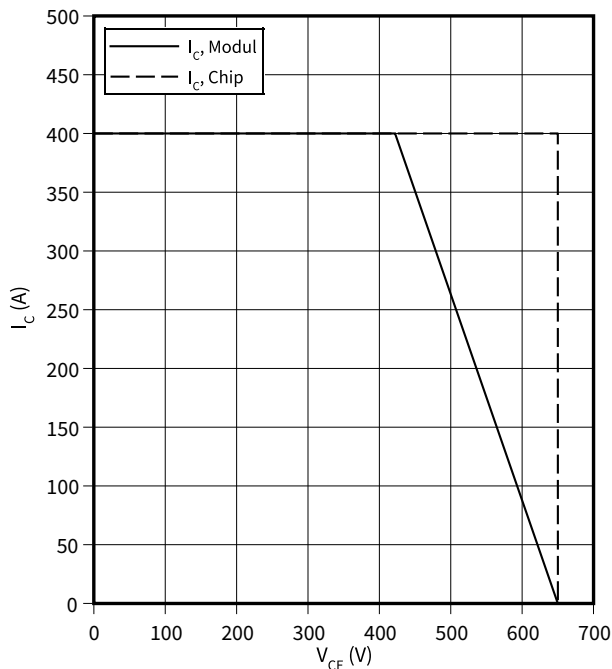


8 特性図

逆バイアス安全動作領域 (RBSOA), IGBT, T1.1 / T1.2 / T4.1 / T4.2

$I_C = f(V_{CE})$

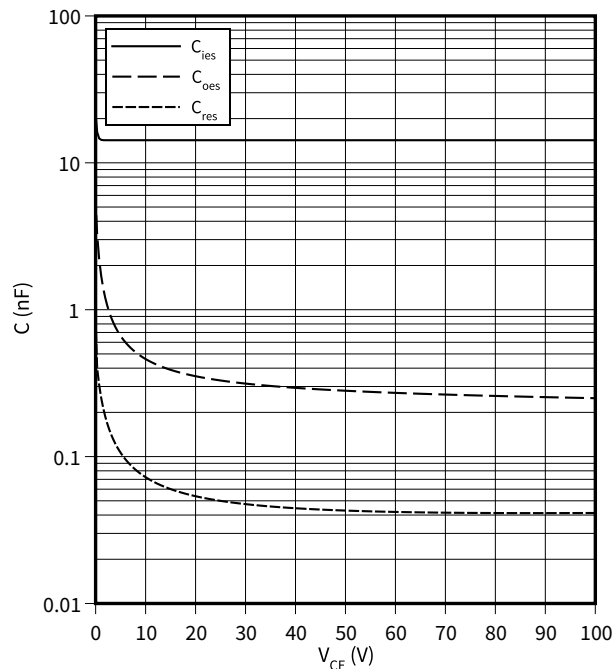
$R_{Goff} = 4.7 \Omega, V_{GE} = \pm 15 V, T_{vj} = 150^\circ C$



容量特性 (Typical), IGBT, T1.1 / T1.2 / T4.1 / T4.2

$C = f(V_{CE})$

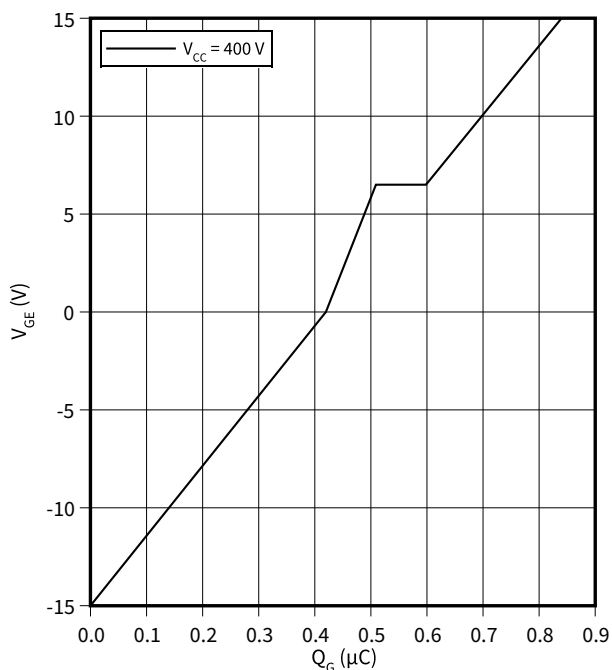
$f = 100 \text{ kHz}, V_{GE} = 0 V, T_{vj} = 25^\circ C$



ゲート充電特性 (典型), IGBT, T1.1 / T1.2 / T4.1 / T4.2

$V_{GE} = f(Q_G)$

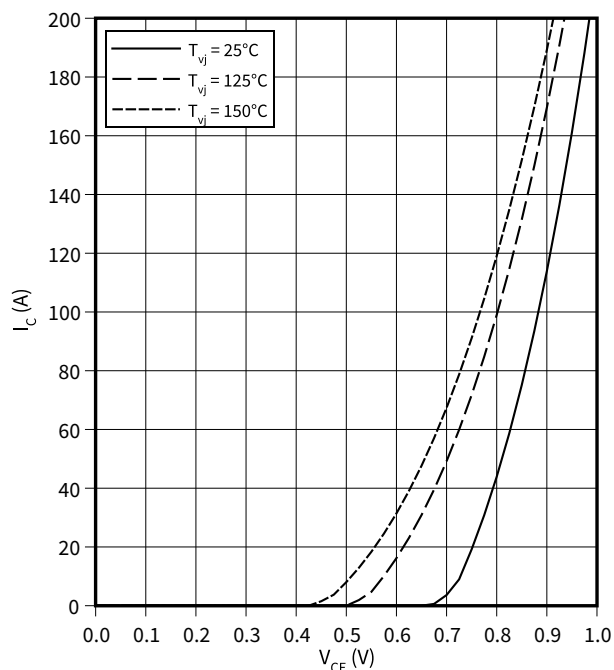
$I_C = 200 A, T_{vj} = 25^\circ C$



出力特性 (Typical), IGBT, T2 / T3

$I_C = f(V_{CE})$

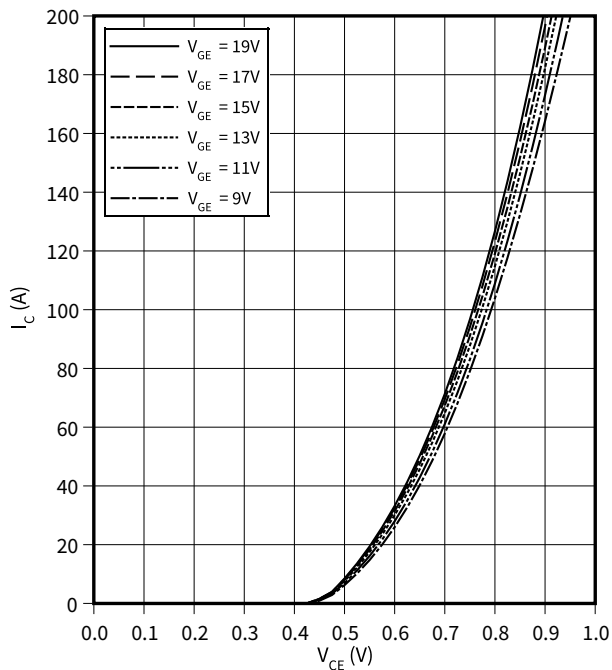
$V_{GE} = 15 V$



8 特性図

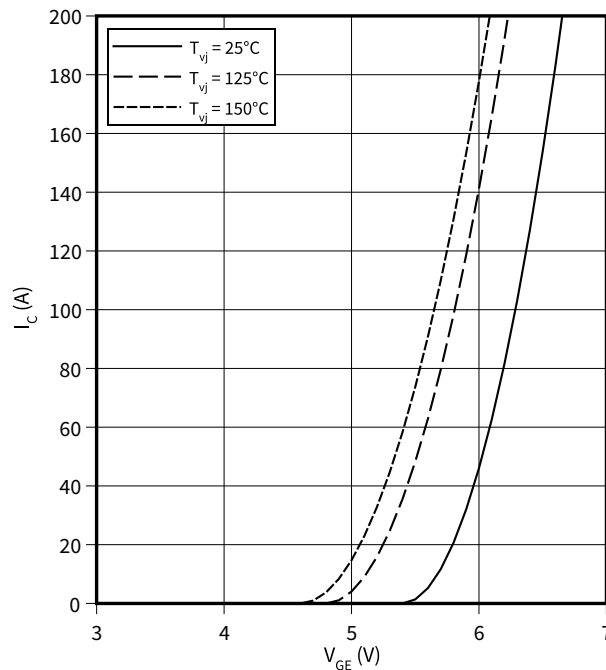
出力特性 (Typical), IGBT, T2 / T3

$I_C = f(V_{CE})$
 $T_{vj} = 150^\circ\text{C}$



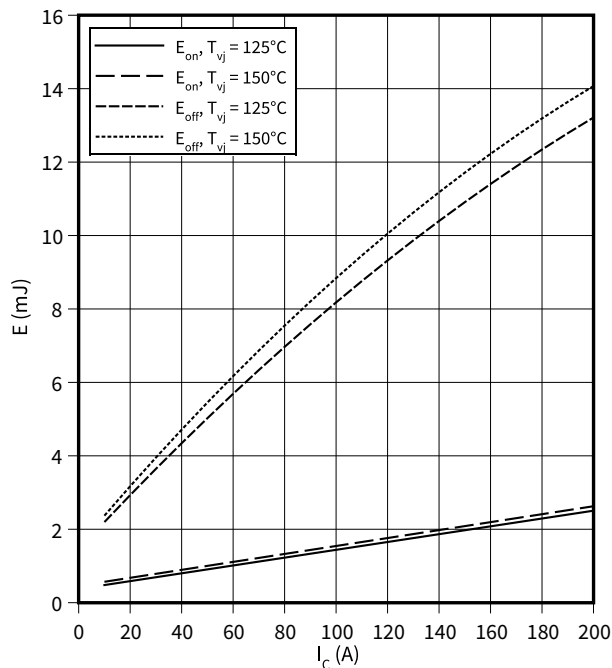
伝達特性 (Typical), IGBT, T2 / T3

$I_C = f(V_{GE})$
 $V_{CE} = 20\text{ V}$



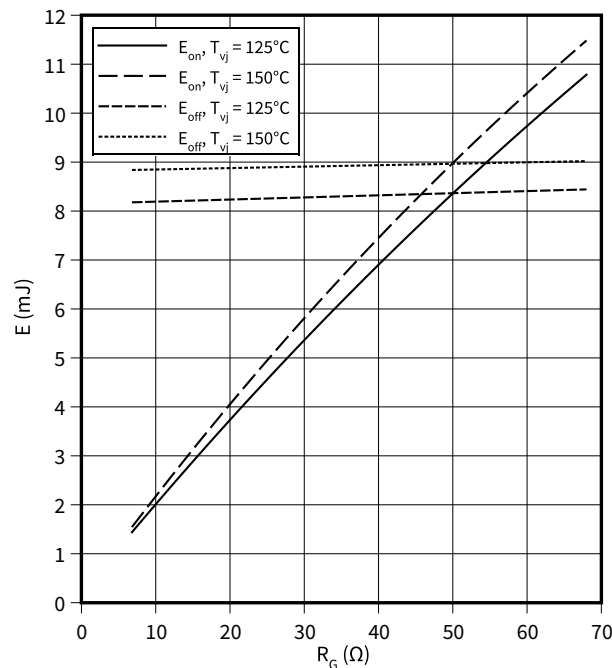
スイッチング損失 (Typical), IGBT, T2 / T3

$E = f(I_C)$
 $R_{Goff} = 6.8\ \Omega, R_{Gon} = 6.8\ \Omega, V_{CE} = 300\text{ V}, V_{GE} = \pm 15\text{ V}$



スイッチング損失 (Typical), IGBT, T2 / T3

$E = f(R_G)$
 $I_C = 100\text{ A}, V_{CE} = 300\text{ V}, V_{GE} = \pm 15\text{ V}$

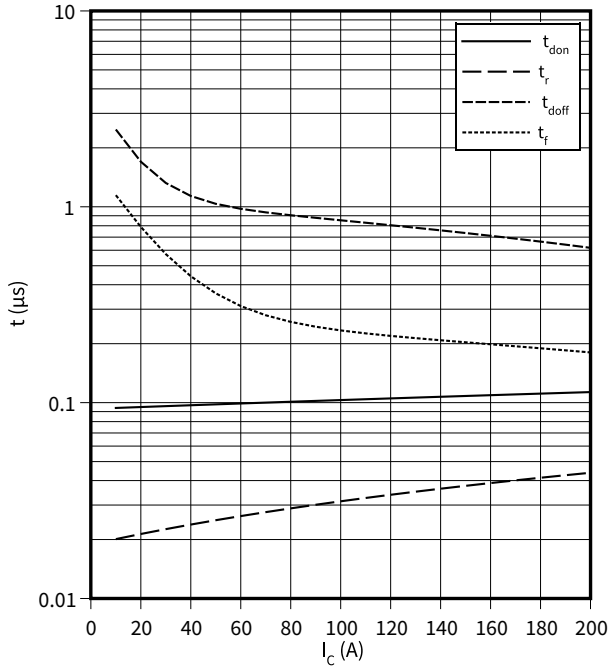


8 特性図

??? (Typical), IGBT, T2 / T3

$t = f(I_C)$

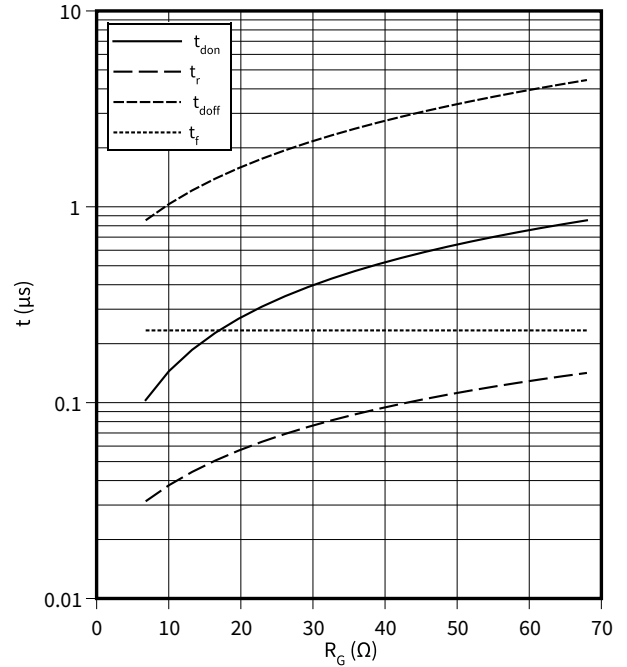
$R_{Goff} = 6.8 \Omega$, $R_{Gon} = 6.8 \Omega$, $V_{CE} = 300 \text{ V}$, $V_{GE} = \pm 15 \text{ V}$, $T_{vj} = 150 \text{ }^\circ\text{C}$



??? (Typical), IGBT, T2 / T3

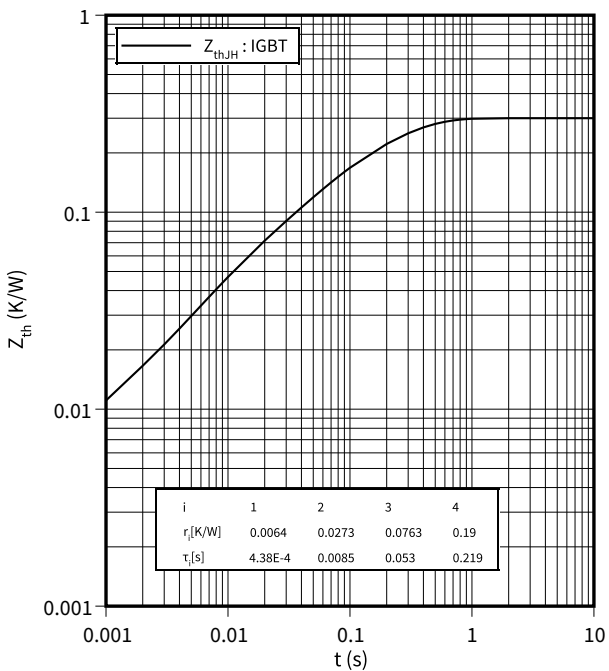
$t = f(R_G)$

$I_C = 100 \text{ A}$, $V_{CE} = 300 \text{ V}$, $V_{GE} = \pm 15 \text{ V}$, $T_{vj} = 150 \text{ }^\circ\text{C}$



過渡熱インピーダンス, IGBT, T2 / T3

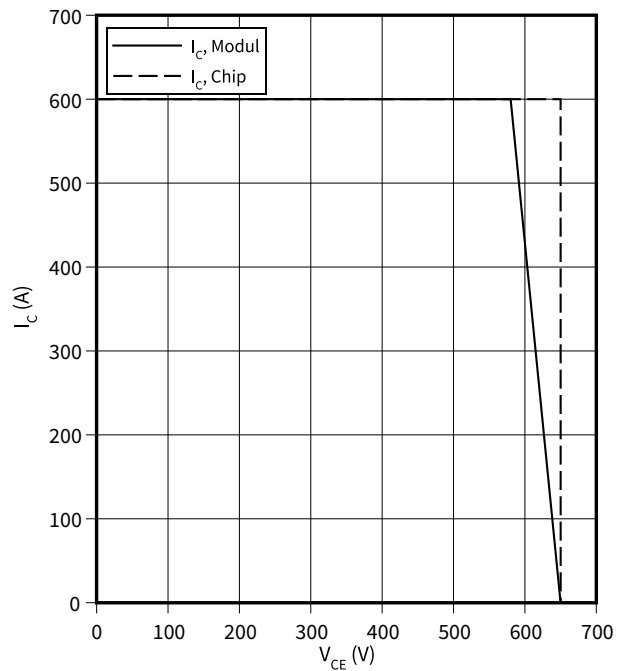
$Z_{th} = f(t)$



逆バイアス安全動作領域 (RBSOA), IGBT, T2 / T3

$I_C = f(V_{CE})$

$R_{Goff} = 6.8 \Omega$, $V_{GE} = \pm 15 \text{ V}$, $T_{vj} = 150 \text{ }^\circ\text{C}$

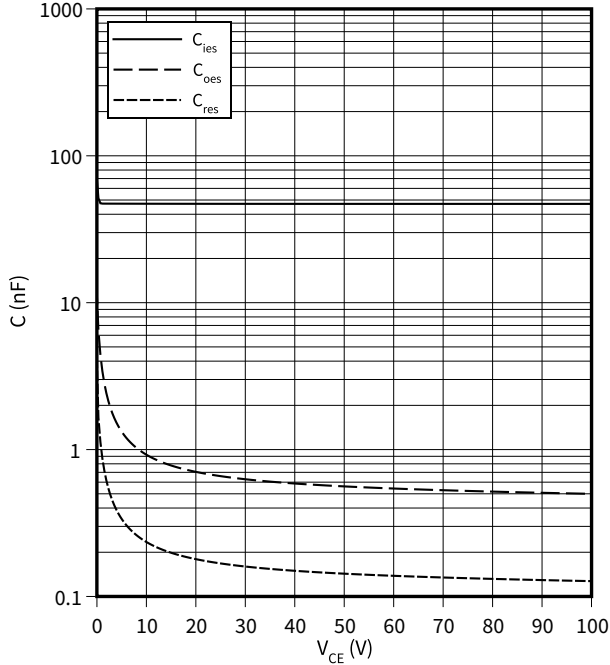


8 特性図

容量特性 (Typical), IGBT, T2 / T3

$C = f(V_{CE})$

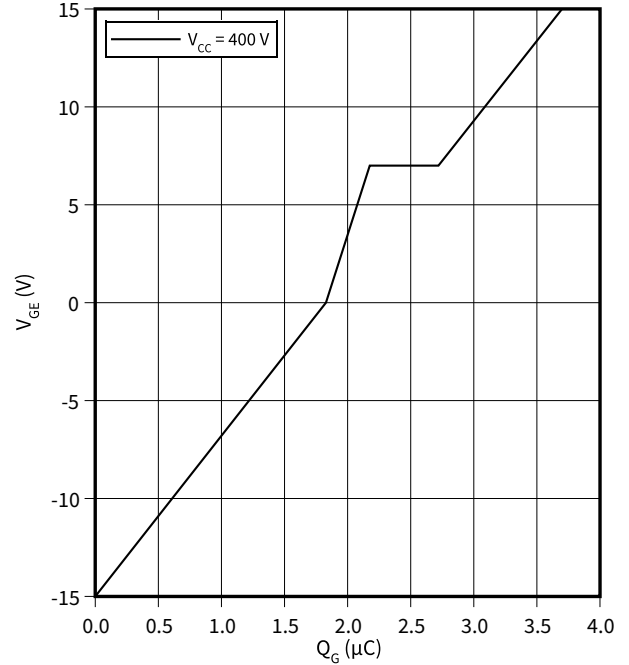
$f = 100 \text{ kHz}, V_{GE} = 0 \text{ V}, T_{vj} = 25 \text{ }^\circ\text{C}$



ゲート充電特性 (典型), IGBT, T2 / T3

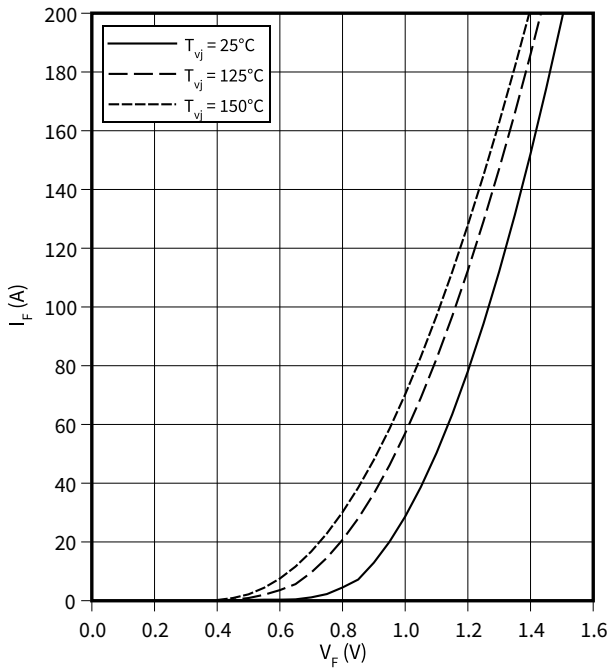
$V_{GE} = f(Q_G)$

$I_C = 200 \text{ A}, T_{vj} = 25 \text{ }^\circ\text{C}$



順電圧特性 (typical), ダイオード, D1 / D4

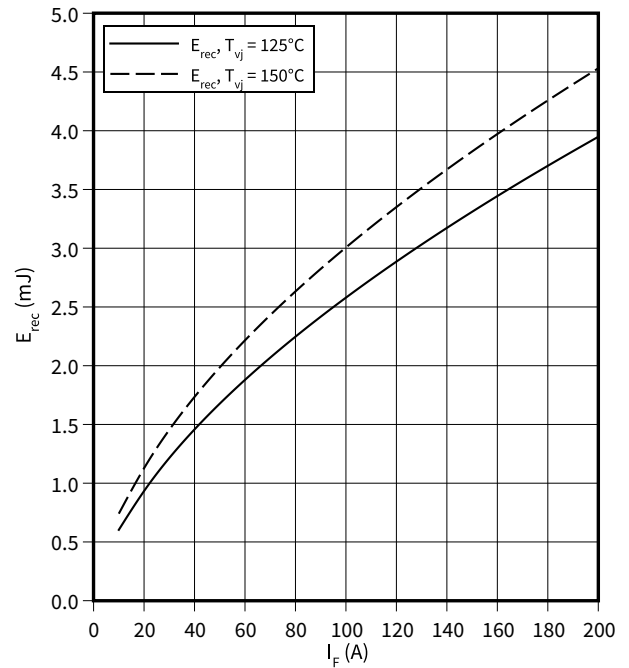
$I_F = f(V_F)$



スイッチング損失 (Typical), ダイオード, D1 / D4

$E_{rec} = f(I_F)$

$R_{Gon} = 6.8 \text{ } \Omega, V_{CE} = 300 \text{ V}$

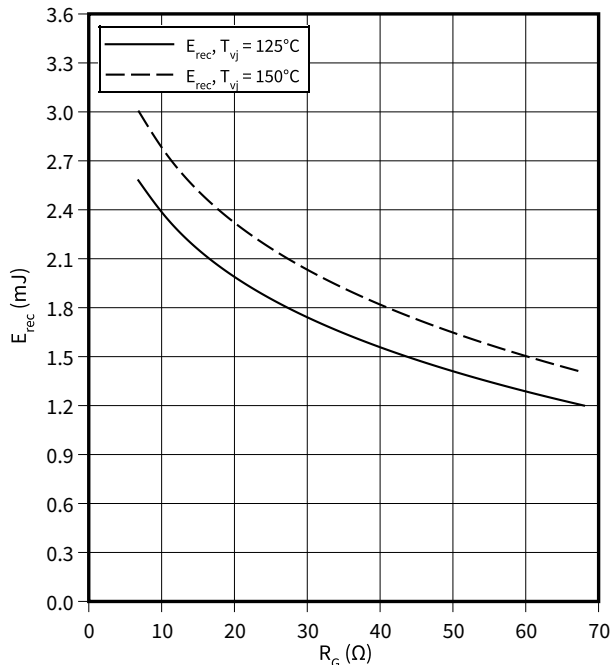


8 特性図

スイッチング損失 (Typical), ダイオード, D1 / D4

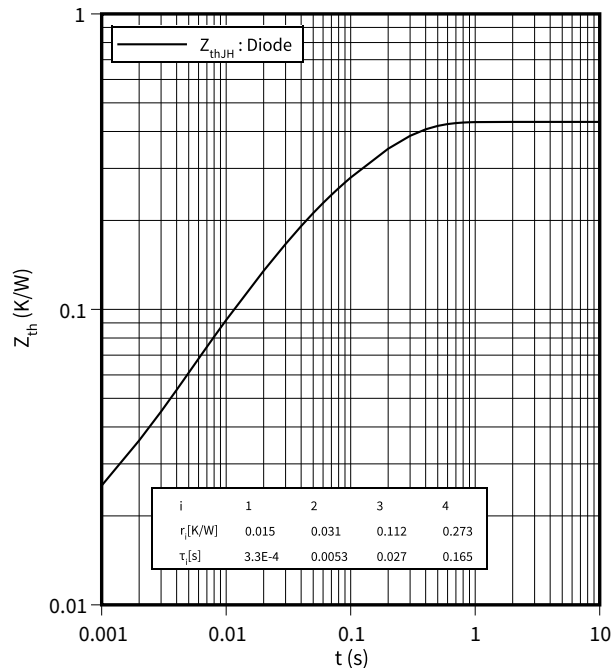
$E_{rec} = f(R_G)$

$V_{CE} = 300\text{ V}, I_F = 100\text{ A}$



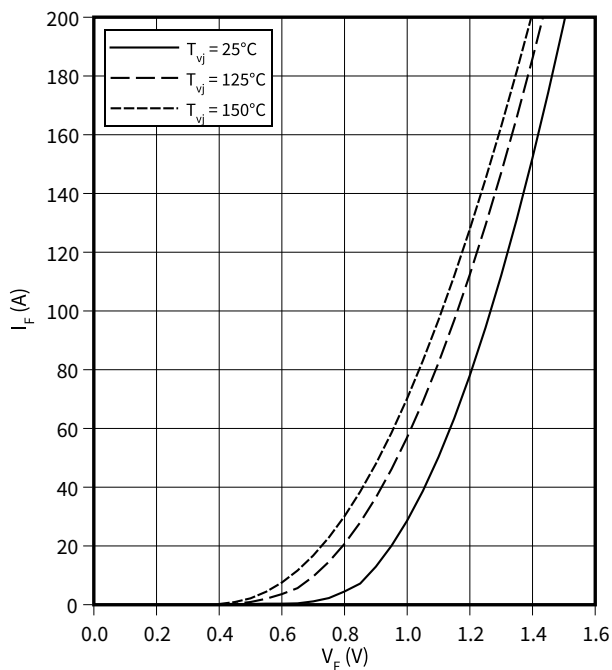
過渡熱インピーダンス, ダイオード, D1 / D4

$Z_{th} = f(t)$



順電圧特性 (typical), ダイオード, D2 / D3

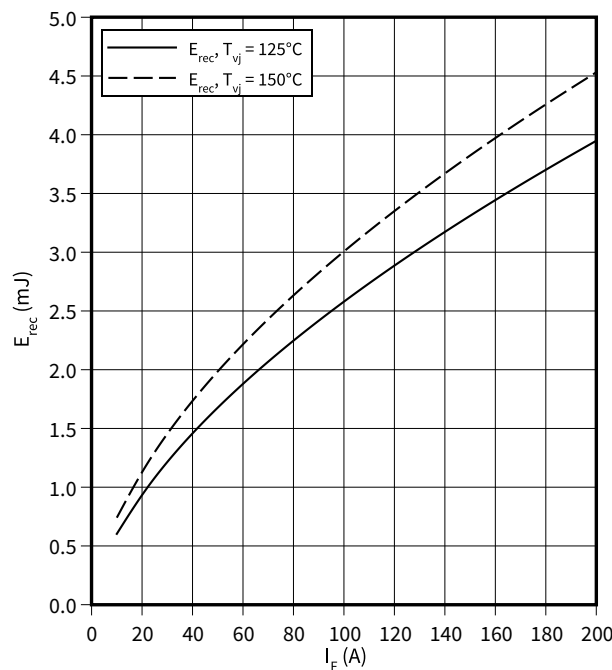
$I_F = f(V_F)$



スイッチング損失 (Typical), ダイオード, D2 / D3

$E_{rec} = f(I_F)$

$R_{Gon} = 6.8\ \Omega, V_{CE} = 300\text{ V}$

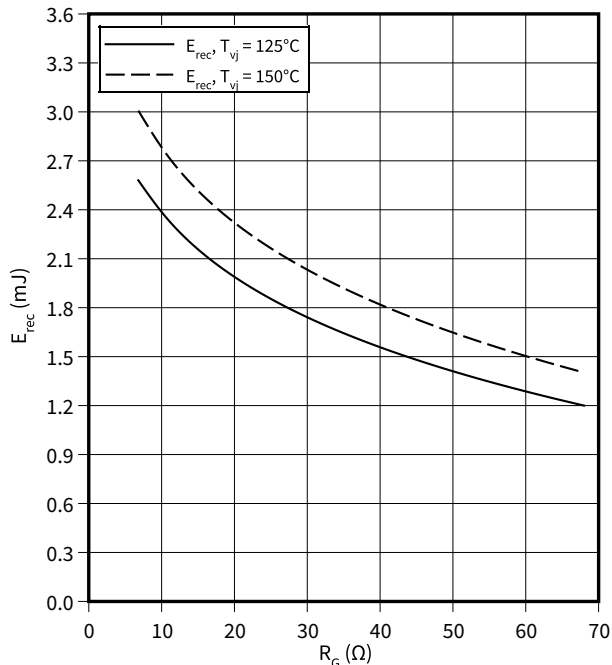


8 特性図

スイッチング損失 (Typical), ダイオード, D2 / D3

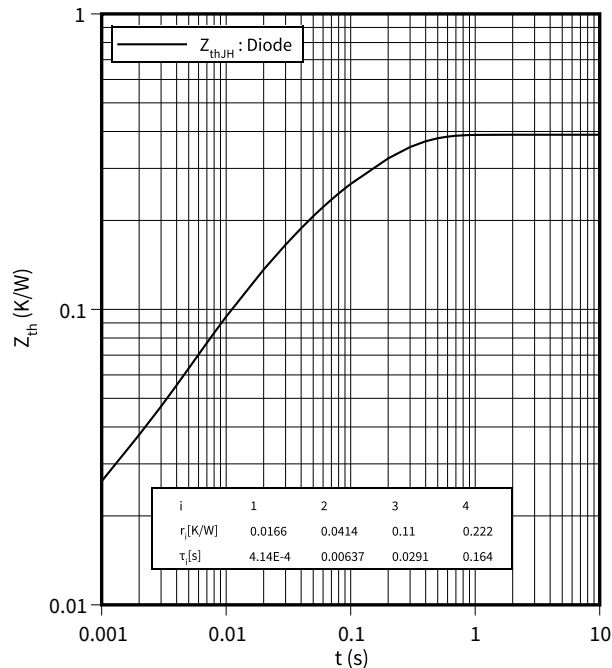
$E_{rec} = f(R_G)$

$V_{CE} = 300\text{ V}$, $I_F = 100\text{ A}$



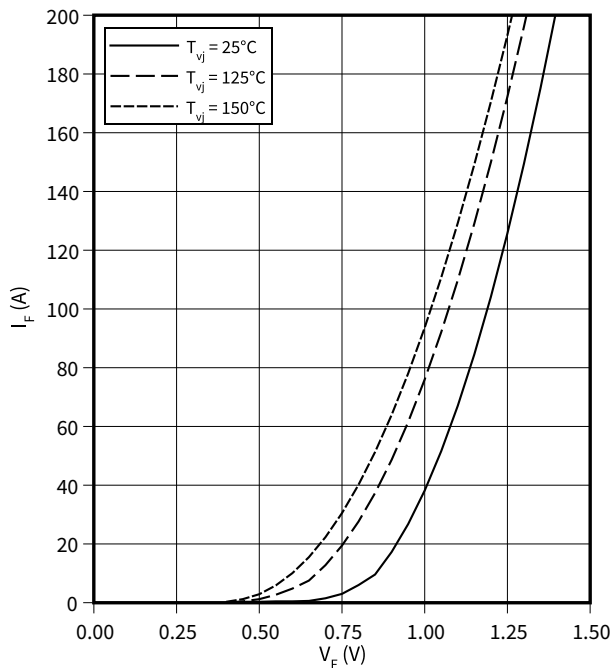
過渡熱インピーダンス, ダイオード, D2 / D3

$Z_{th} = f(t)$



順電圧特性 (typical), ダイオード, D5 / D6

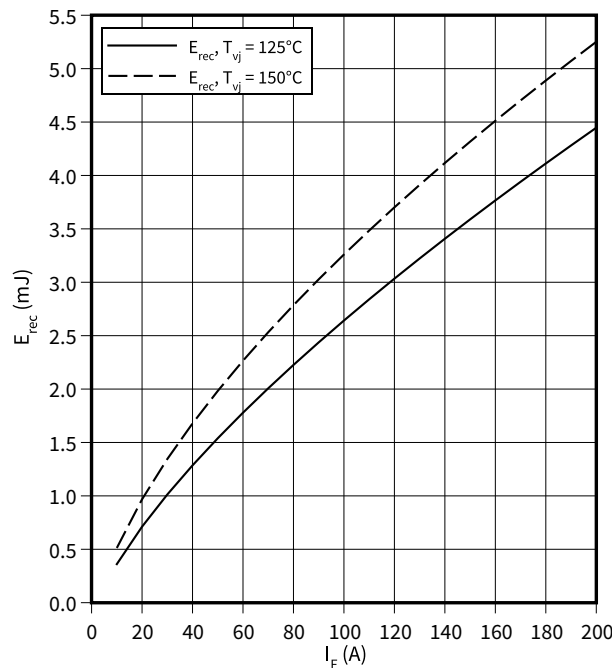
$I_F = f(V_F)$



スイッチング損失 (Typical), ダイオード, D5 / D6

$E_{rec} = f(I_F)$

$R_{Gon} = 4.7\ \Omega$, $V_{CE} = 300\text{ V}$

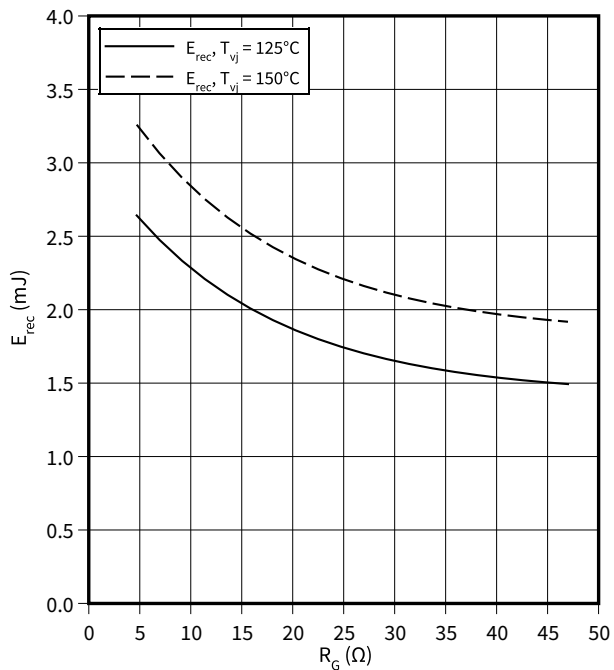


8 特性図

スイッチング損失 (Typical), ダイオード、D5 / D6

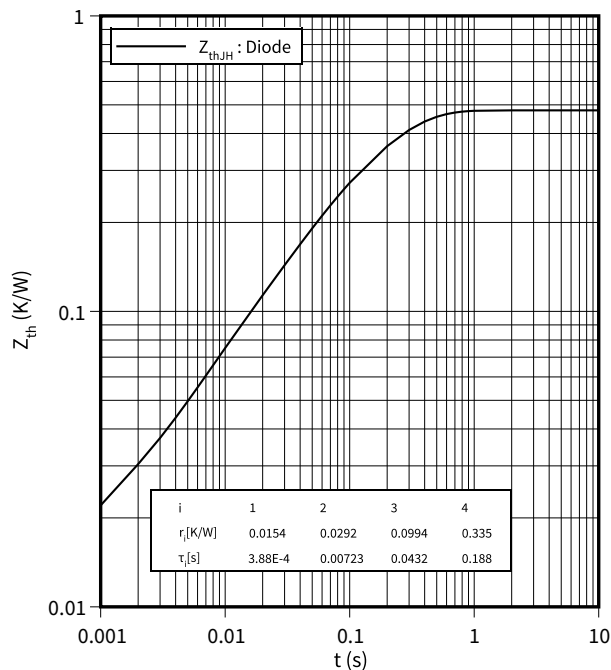
$E_{rec} = f(R_G)$

$V_{CE} = 300\text{ V}$, $I_F = 100\text{ A}$



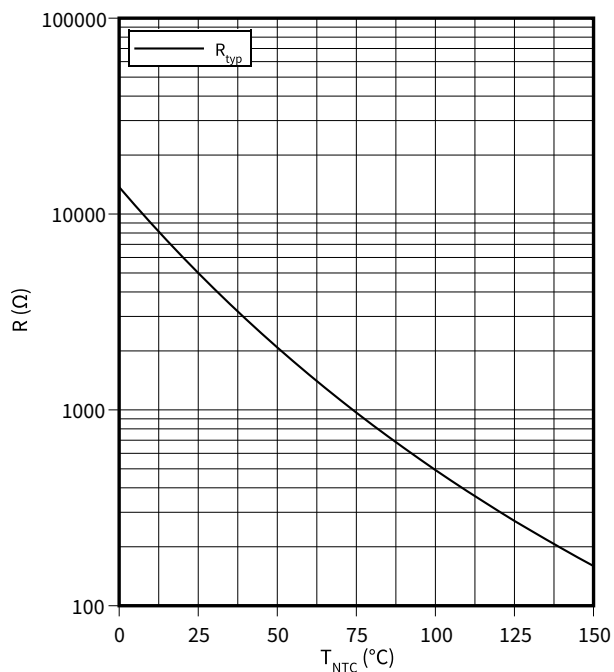
過渡熱インピーダンス, ダイオード、D5 / D6

$Z_{th} = f(t)$



サーミスタの温度特性, NTC-サーミスタ

$R = f(T_{NTC})$



9 回路図

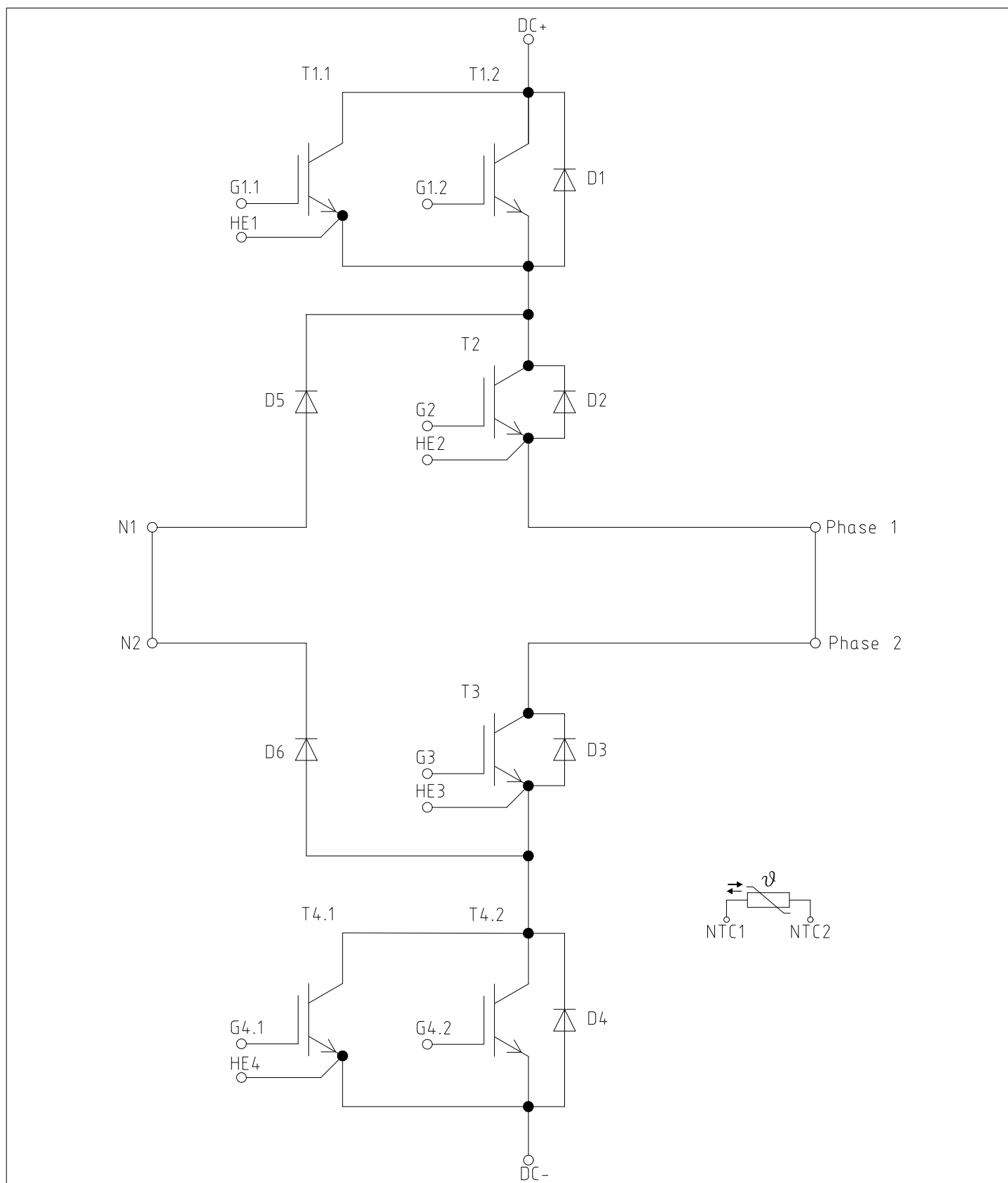


図 2

改訂履歴

改訂履歴

文書改訂	発行日	変更内容
0.10	2021-04-28	Target datasheet
1.00	2021-06-25	Final datasheet

Trademarks

All referenced product or service names and trademarks are the property of their respective owners.

Edition 2021-06-25

Published by

Infineon Technologies AG

81726 Munich, Germany

© 2021 Infineon Technologies AG

All Rights Reserved.

Do you have a question about any aspect of this document?

Email: erratum@infineon.com

Document reference

IFX-AAS474-002

重要事項

本文書に記載された情報は、いかなる場合も、条件または特性の保証とみなされるものではありません（「品質の保証」）。

本文に記載された一切の事例、手引き、もしくは一般的な価値、および/または本製品の用途に関する一切の情報に関し、インフィオンテクノロジーズ（以下、「インフィオン」）はここに、第三者の知的所有権の不侵害の保証を含むがこれに限らず、あらゆる種類の一切の保証および責任を否定いたします。

さらに、本文書に記載された一切の情報は、お客様の用途におけるお客様の製品およびインフィオン製品の使用に関し、本文書に記載された義務ならびに一切の関連する法的要件、規範、および基準をお客様が遵守することを条件としています。

本文書に含まれるデータは、技術的訓練を受けた従業員のみを対象としています。本製品の対象用途への適合性、およびこれら用途に関連して本文書に記載された製品情報の完全性についての評価は、お客様の技術部門の責任にて実施してください。

Please note that this product is not qualified according to the AEC Q100 or AEC Q101 documents of the Automotive Electronics Council.

警告事項

技術的要件に伴い、製品には危険物質が含まれる可能性があります。当該種別の詳細については、インフィオンの最寄りの営業所までお問い合わせください。

インフィオンの正式代表者が署名した書面を通じ、インフィオンによる明示の承認が存在する場合を除き、インフィオンの製品は、当該製品の障害またはその使用に関する一切の結果が、合理的に人的傷害を招く恐れのある一切の用途に使用することはできないこと予めご了承ください。